Notizen 503

Die Kristallstrukturen von MesSn(Cl)Me₂ und Mes₂SnCl₂

The Crystal Structures of MesSn(Cl)Me₂ and Mes₂SnCl₂

Thomas Kräuter, Bernhard Neumüller*

Fachbereich Chemie der Universität Marburg, Hans-Meerwein-Straße, D-35032 Marburg, Germany

Z. Naturforsch. **53b**, 503–505 (1998); eingegangen am 11. Dezember 1997

Mesityltin Compounds, Chloro Compounds, Crystal Structure

Single crystals of MesSn(Cl)Me₂ (1) and Mes₂SnCl₂ (2) were obtained by the reactions of MesGaCl₂ with Me₃SnF and Mes₃SnF, respectively. 1 and 2 are monomeric molecules in the solid state. 1: space group P2₁/n, Z = 4, lattice dimensions at -70 °C: a = 1202,3(1), b = 739,1(1), c = 1441,3(1) pm, $\beta = 102,71(1)^\circ$, $R_1 = 0,0469$; 2: space group Pbcn, Z = 4, lattice dimensions at -50 °C: a = 1107,0(2), b = 949,9(1), c = 1729,8(2) pm, $R_1 = 0.049$.

Zur Darstellung von Organofluoro-Verbindungen der Elemente der 13. Gruppe können typische Fluoridierungsreagenzien wie BF3.OEt2 oder Me₃SnF zum Austausch eines organischen Restes gegen F eingesetzt werden [1]. In letzter Zeit wurde Me₃SnF auch erfolgreich für den Cl-F-Austausch zur Bildung von Organoübergangsmetall-Fluoriden angewendet [2]. Wir beabsichtigten Me₃SnF zur Synthese von MesGaF₂ aus Mes- $GaCl_2$ (Mes = 2,4,6-Me₃C₆H₂) einzusetzen. Eine Reaktion konnte auch beobachtet werden, wobei aber ein farbloser, in gängigen organischen Solventien schwerlöslicher Festkörper und das gut lösliche MesSn(Cl)Me₂ (1) anfielen, d.h. die Fluorid-Ionen wurden auf das Gallium-Zentrum unter gleichzeitiger Ligandenumverteilung übertragen (Gl. (1)).

$$MesGaCl2 + 2 Me3SnF \rightarrow MesSn(Cl)Me2 + ...?$$
 (1)

Eine Verwendung von Mes₃SnF [3] als Fluoridüberträger führte ebenfalls zu einer Ligandenumverteilung, wobei nur Mes₂SnCl₂ (2) identifiziert werden konnte [4]. Die ¹H- und ¹³C-NMR-Spektren für **1** und **2** zeigen die charakteristischen Signalsätze von Sn-gebundenen Mes- und Me-Gruppen. Im ¹¹⁹Sn-NMR-Spektrum von **1** wurde ein Signal bei -29,3 ppm beobachtet. In den IR-Spektren können die Sn-Cl-Valenzschwingungen bei 309 (**1**), 329 und 307 cm⁻¹ (**2**) identifiziert werden.

Abb. 1 zeigt für 1 ein verzerrt tetraedrisch koordiniertes Sn-Atom mit Sn-C-Bindungslängen, die sich im Rahmen der Standardabweichungen nur wenig unterscheiden (vgl. Tab. II). Der Durch-

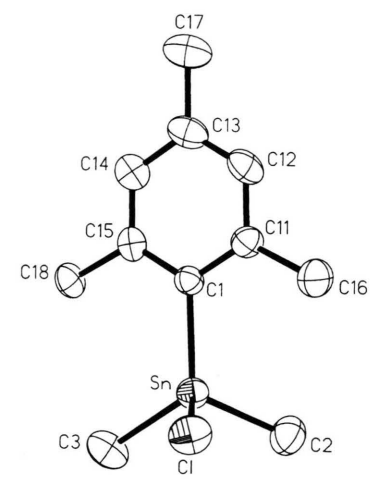


Abb. 1. Ansicht eines Moleküls von 1 (Ellipsoide 50% Wahrscheinlichkeit; ohne H-Atome).

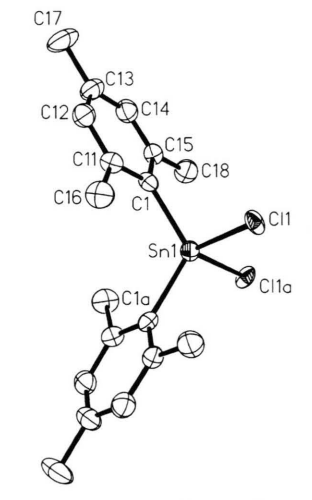


Abb. 2. Ansicht eines Moleküls von 2.

Sonderdruckanforderungen an Priv.-Doz. Dr. B. Neumüller.

Notizen Notizen

Tab. I. Kristalldaten und Angaben zu den Röntgenstrukturanalysen [14] von 1 und 2.

Formel	$C_{11}H_{17}ClSn$	$C_{18}H_{22}Cl_2Sn$	
Formelmasse (g/mol)	303,40	427.99	
Meßgerät	CAD4 (Enraf-Nonius)	P4 (Siemens)	
Kristallabmessungen	0,15x0,25x0,1	$0.35 \times 0.51 \times 0.15$	
a	1202,3(1)	1107,0(2)	
b	739,1(1)	949.9(1)	
C	1441,3(1)	1729,8(2)	
β	102,71(1)°	,-(-)	
Zellvolumen (pm ³ ·10 ⁶)	1249,4(2)	1819,0(4)	
Raumgruppe	monoklin	orthorhombisch	
8 11	$P2_1/n$ (Nr. 14 [15])	Pbcn (Nr. 60)	
Z	4	4	
$d_{r\ddot{o}nt}$ (g/cm ³)	1,613	1,562	
Meßtemperatur (K)	203	223	
Strahlung	$CuK\alpha$	$MoK\alpha$	
Empirische Absorptions-			
korrektur; μ (cm ⁻¹)	178.8	16.9	
Meßbereich (°)	$6 < 2\theta < 110$	$4 < 2\theta < 50$	
Gemessener Bereich des	$-15 \le h \le 0$	-1≤ <i>h</i> ≤13	
reziproken Raumes	$0 \le k \le 14$	-11≤ <i>k</i> ≤3	
	-15≤ <i>l</i> ≤17	-20≤ <i>l</i> ≤1	
Gemessene Reflexe	1795	2937	
Unabhängige Reflexe	1591	1605	
Meßwerte mit $F_0 > 4\sigma(F_0)$	1509	1082	
Parameter	119	97	
Scanmodus	ω -2 θ	ω	
Scanbreite (°)	$0.96+0.17$ tg θ	1,2	
Strukturlösung	Direkte Methoden (SHELXTL-Plus)		
Verfeinerung	gegen F ² (SHELXL-93)		
8	Alle Lagen der H-Atome wurden für eine ideale Geometrie berechnet und		
	mit einem gemeinsamen Auslenkungsparameter verfeinert.		
Verwendete Programme	SHELXTL-Plus [16], SHELXL-93 [17], PLATON-94 [18], ORTEP [19]		
R_1	0,047	0,049	
wR_2 (alle Daten)	0,1101 ^a	0,1667 ^b	
maximale Restelektronendichte	0,52	1,57	
$(e/pm^3 \cdot 10^6)$			

^a $w = 1/[\sigma^2(F_o^2) + (0.0387 \cdot P)^2 + 7.46 \cdot P)]$ und $P = [Max(F_o^2, 0) + 2 \cdot F_c^2]/3$; ^b $w = 1/[\sigma^2(F_o^2) + (0.1091 \cdot P)^2]$.

schnittswert von 213 pm kommt dem Wert von 211,7(7) pm in 2, das C₂-Lagesymmetrie besitzt (Abb. 2), sehr nahe. Typische Werte in diesem Bereich wurden z.B. auch in den Monomeren Cy₃SnCl (Mittelwert 210 pm) [5] und Ph₂SnCl₂ (Mittelwert 211 pm) [6] gemessen. Für eine deutliche Änderung der Bindungslängen sorgt in $Mes*Sn(Cl)^{t}Bu_{2}$ ($Mes* = 2,4,6-({}^{t}Bu)_{3}C_{6}H_{2}$) der sterisch sehr anspruchsvolle Ligand Mes* (Mittelwert 220 pm) [7]. Die Sn-Cl-Abstandswerte von 240,8(3) (1) und 241,4(2) pm (2) sind für terminale Sn-Cl-Funktionen und Koordinationszahl vier der Zinnatome im Bereich der Erwartung. So werden pm und selbst Cy₃SnCl 240,7(5)Mes*Sn(Cl)'Bu₂ 242,5(2) pm gefunden. Eine Ausnahme stellt das Ph₂SnCl₂ dar, bei dem nur 233,6(2) und 235,3(2) pm beobachtet werden. Eine gänzlich andere Situation und deutliche andere Sn-Cl-Bindungslängen werden in den Koordina-

tionspolymeren Me₂SnCl₂ [8], Et₂SnCl₂ [9] und Cy₂SnCl₂ (polymere Modifikation) angetroffen [10], die mit **1** und **2** nur schwer verglichen werden können.

Experimenteller Teil

Für die $^1\text{H-}$, $^{13}\text{C-}$ und $^{119}\text{Sn-NMR-Messungen}$ stand ein Gerät Bruker AC-300 ($^1\text{H:}$ 300,134 MHz, $^{13}\text{C:}$ 75,469 MHz, $^{119}\text{Sn:}$ 149,213 MHz) zur Verfügung. Standard sind jeweils TMS ($^1\text{H,}$ ^{13}C) bzw. Me₄Sn (^{119}Sn) mit δ = 0,0 ppm. Die IR-Spektren wurden mit einem Bruker IFS-88-Spektrometer (CsI- und Polyethylenscheiben) angefertigt, die EI-Massenspektren wurden mit einem Gerät Varian CH7a aufgenommen. Alle Arbeiten wurden unter Reinstargon durchgeführt. Die Reinigung und Trocknung der Lösungsmittel erfolgte nach gängigen Methoden [11]. MesGaCl₂ [12], Me₃SnF

Notizen 505

Tab. II. Ausgewählte Atomabstände [pm] und Bindungswinkel [°] in 1 und 2.

		1	
Sn-Cl Sn-C1 Sn-C2 Sn-C3	240,8(3) 213,3(8) 213,5(9) 211,9(9)	Cl-Sn-C1 Cl-Sn-C2 Cl-Sn-C3 C1-Sn-C2 C1-Sn-C3 C2-Sn-C3	102,9(2) 101,6(2) 100,6(2) 115,5(3) 121,1(3) 111,3(3)
		2	
Sn1-Cl1 Sn1-Cl	241,4(2) 211,7(7)	Cl1-Sn1-C1 Cl1-Sn1-Cl1a Cl1-Sn1-C1a C1-Sn1-C1a Sn1-C1-C11 Sn1-C1-C15	102,4(2) 100,29(7) 115,4(2) 119,7(3) 116,5(5) 126,0(5)

[13] und Mes₃SnF [3] wurden nach Literaturvorschriften dargestellt.

Darstellung von 1: Eine Mischung von 1,7 g (6,5 mmol) MesGaCl₂ mit 2,38 g (11,3 mmol) Me₃SnCl in 50 ml Toluol wird 24 h bei 20 °C gerührt und dann 2 h unter Rückfluß erhitzt. Im Verlauf der Reaktion fällt ein farbloser Niederschlag aus, der abfiltriert wird. Beim Einengen des Fil-

trats gewinnt man 1 als farblose Platten. Ausbeute 0,97 g (49% d. Th., bezogen auf MesGaCl₂). -Schmp. 157 °C (geschl. Rohr). – ¹H-NMR (CD_3CN) : 0.92 ppm (s, 6 H, ${}^2J(SnH) = 63.2$ Hz, $Sn(CH_3)_2$; 2,26 ppm (s, 3 H, CH_3 - C^4); 2,48 ppm (s, 6 H, ${}^{4}J(SnH) = 7.4$ Hz, CH_{3} - $C^{2/6}$); 6.91 ppm (s, 2 H, $^{4}J(SnH) = 23.2$ Hz, C^{3} -H). ^{-13}C -NMR (CD₃CN): 4.0 ppm (d, $^{1}J(SnC) = 294$ Hz, $SnCH_{3}$); 21.0 ppm (s, CH_3 - C^4); 25.1 ppm (s, CH_3 - $C^{2/6}$); 129.0 ppm (s, $C^{3/5}$); 139,5 ppm (s, C^1); 140,7 ppm (s, C^4); 145,1 ppm (s, $C^{2/6}$). – EI-MS (70 eV), m/z(%): 303 (26) (M)+, 288 (100) (M-Me)+, 273 (10) (M-2Me)+, 268 (12) (M-Cl)+, 238 (11) (M-2Me-Cl)+, 154 (16) (119SnCl)+, 119 (38) (119Sn)+/(Mes)+, 77 (9) $(C_6H_5)^+$. – IR (Nujol): 2728 w, 1594 m, 1548 m, 1404 m, 1291 m, 1263 w, 1242 w, 1193 w, 1169 w, 1036 s, 863 vs, 798 vs, 769 vs, 751 s, 707 m, 579 m, 559 w, 539 vs, 521 s, 496 w, 478 w, 385 w, 309 m (vSnCl), 204 m, 167 w, 112 vw.

 $C_{11}H_{17}ClSn$ (303,40)

Ber. C 43,55 H 5,65 Cl 11,69 Sn 39,12%, Gef. C 43.54 H 5.66 Cl 11,47 Sn 39,03%.

Dank

Dem Fonds der Chemischen Industrie und der Deutschen Forschungsgemeinschaft danken wir für die großzügige finanzielle Unterstützung.

- [1] B. Neumüller, Coord. Chem. Rev. 158, 69 (1997) und dort zit. Lit.
- [2] H. W. Roesky, A. Herzog, F.-Q. Lin, J. Fluor. Chem. 71, 161 (1995); H. W. Roesky, A. Herzog, F.-Q. Lin, J. Fluor. Chem. 72, 183 (1995) und dort zit. Lit.
- [3] H. Reuter, H. Puff, J. Organomet. Chem. 379, 223 (1989); H. Bai, R. K. Harris, H. Reuter, J. Organomet. Chem. 408, 167 (1991).
- [4] H. Berwe, A. Haas, Chem. Ber. **120**, 1175 (1987).
- [5] S. Calogero, P. Ganis, V. Peruzzo, G. Tagliavini, J. Organomet. Chem. **179**, 145 (1979).
- [6] P. T. Greene, R. F. Bryan, J. Chem. Soc. A 1971,
- [7] M. Weidenbruch, K. Schäfers, K. Peters, H. G. von Schnering, J. Organomet. Chem. 381, 173 (1990).
- [8] A. G. Davies, H. J. Milledge, D. C. Puxley, P. J. Smith, J. Chem. Soc. A 1970, 2862.
- [9] N. W. Alcock, J. F. Sawyer, J. Chem. Soc., Dalton Trans., 1977, 1090.
- [10] K. C. Molloy, K. Quill, I. W. Nowell, J. Organomet. Chem. 289, 271 (1985).
- [11] D. D. Perrin, W. L. F. Armarego, D. R. Perrin, Purification of Laboratory Chemicals, 2. Aufl., Pergamon Press, Oxford (1980).

- [12] O. T. Beachley (Jr.), M. R. Churchill, J. C. Pazik, J. W. Ziller, Organometallics 6, 2088 (1987).
- [13] E. Krause, Ber. Dtsch. Chem. Ges. 51, 1447 (1918).
- [14] Weitere Einzelheiten zu den Kristallstrukturanalysen können beim Fachinformationszentrum Karlsruhe GmbH, D-76344 Eggenstein-Leopoldshafen, unter Angabe der Hinterlegungsnummern CSD-408295 (1) und CSD-408296 (2) angefordert werden.
- [15] International Tables for Crystallography, Bd. A, 2. Aufl., Kluwer Academic Publishers, Dordrecht, Boston, London (1989).
- [16] G. M. Sheldrick, SHELXTL-Plus, Release 4.2 for Siemens R3 Crystallographic Research Systems, Siemens Analytical X-Ray Instruments, Inc., Madison (Wisconsin), (1990).
- [17] G. M. Sheldrick, SHELXL-93, Göttingen (1993).
- [18] A. L. Spek, PLATON-94, Utrecht (1994).
- [19] C. K. Johnson, ORTEP, ORNL-3794, Oak Ridge National Laboratory, Tennessee (1965).

